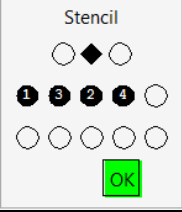


ПРИЛОЖЕНИЕ 2. ОБРАЗЕЦ ОФОРМЛЕНИЯ ОТЧЕТА О РАБОТЕ

<p style="text-align: center;">Шаблон № 0 – образец $0 < \sigma < 1$ α_{-2}^0 – абсцисса, α_0^0 – ордината</p>	<div style="text-align: center;">  </div>
<p style="text-align: center;">Система:</p>	$\begin{cases} \alpha_{-2}^0 + \alpha_{-1}^0 + \alpha_0^0 + \alpha_1^0 = 1 \\ -2\alpha_{-2}^0 - \alpha_{-1}^0 + \alpha_1^0 = -\sigma \\ 4\alpha_{-2}^0 + \alpha_{-1}^0 + \alpha_1^0 = \sigma^2 \\ -8\alpha_{-2}^0 - \alpha_{-1}^0 + \alpha_1^0 = -\sigma^3 \end{cases}$
<p>1.1 Область монотонности положительных по Фридрихсу ($\alpha_\mu^v \geq 0$) схем:</p> $u_m^{n+1} = \alpha_{-2}^0 u_{m-2}^n + \frac{1}{2}(1 + \sigma - 3\alpha_{-2}^0 - \alpha_0^0)u_{m-1}^n + \alpha_0^0 u_m^n + \frac{1}{2}(1 - \sigma + \alpha_{-2}^0 - \alpha_0^0)u_{m+1}^n,$ $0 \leq \alpha_{-2}^0, 0 \leq \alpha_0^0, \alpha_0^0 \leq -3\alpha_{-2}^0 + \sigma + 1, \alpha_0^0 \leq \alpha_{-2}^0 + 1 - \sigma$	
<p>1.2 Однопараметрическое множество схем 2-го порядка аппроксимации:</p> $u_m^{n+1} = u_m^n + \frac{\sigma}{2}(u_{m-1}^n - u_{m+1}^n) + \frac{\sigma^2}{2}(u_{m-1}^n - 2u_m^n + u_{m+1}^n) + \alpha_{-2}^0(u_{m-2}^n - 3u_{m-1}^n + 3u_m^n - u_{m+1}^n)$	
<p>1.3 Единственная схема 3-го порядка аппроксимации:</p> $C: \left(\alpha_{-2}^0 = \frac{\sigma}{6}(\sigma^2 - 1), \alpha_{-1}^0 = \frac{1}{2}\sigma(2 + \sigma - \sigma^2), \alpha_0^0 = \frac{1}{2}(2 - \sigma)(1 - \sigma^2), \alpha_1^0 = \frac{1}{6}(2 - \sigma)(\sigma^2 - \sigma) \right),$ $u_m^{n+1} = u_m^n + \frac{\sigma}{2}(u_{m-1}^n - u_{m+1}^n) + \frac{\sigma^2}{2}(u_{m-1}^n - 2u_m^n + u_{m+1}^n) + \frac{\sigma}{6}(\sigma^2 - 1)(u_{m-2}^n - 3u_{m-1}^n + 3u_m^n - u_{m+1}^n)$	
<p>1.4 Вершины двухпараметрического множества монотонных схем:</p> $A_0: \left(\alpha_{-2}^0 = 0, \alpha_{-1}^0 = \frac{1}{2}(1 + \sigma), \alpha_0^0 = 0, \alpha_1^0 = \frac{1}{2}(1 - \sigma) \right), u_m^{n+1} = \frac{1}{2}(1 + \sigma)u_{m-1}^n + \frac{1}{2}(1 - \sigma)u_{m+1}^n$ $A_2: \left(\alpha_{-2}^0 = 0, \alpha_{-1}^0 = \sigma, \alpha_0^0 = 1 - \sigma, \alpha_1^0 = 0 \right), u_m^{n+1} = u_m^n + \sigma(u_{m-1}^n - u_m^n)$ $A_5: \left(\alpha_{-2}^0 = \frac{\sigma}{2}, \alpha_{-1}^0 = 0, \alpha_0^0 = 1 - \frac{\sigma}{2}, \alpha_1^0 = 0 \right), u_m^{n+1} = u_m^n + \frac{\sigma}{2}(u_{m-2}^n - u_m^n)$ $A_3: \left(\alpha_{-2}^0 = \frac{\sigma + 1}{3}, \alpha_{-1}^0 = 0, \alpha_0^0 = 0, \alpha_1^0 = \frac{2 - \sigma}{3} \right), u_m^{n+1} = \frac{1}{3}(u_{m-2}^n + 2u_{m+1}^n) + \frac{\sigma}{3}(u_{m-2}^n - u_{m+1}^n)$	

1.5 Схема 2-го порядка аппроксимации наиболее близкая к множеству положительных по Фридрихсу схем:

$$B_2: \left(\alpha_{-2}^0 = \frac{3}{10}(\sigma^2 - \sigma), \alpha_{-1}^0 = \frac{1}{5}(7\sigma - 2\sigma^2), \alpha_0^0 = \frac{1}{10}(1 - \sigma)(10 + \sigma), \alpha_1^0 = \frac{1}{5}(\sigma^2 - \sigma) \right),$$

$$u_m^{n+1} = \frac{1}{5}(7\sigma - 2\sigma^2)u_{m-1}^n + \frac{(\sigma - 1)}{10}(3\sigma u_{m-2}^n - (10 + \sigma)u_m^n + 2\sigma u_{m+1}^n)$$

1.6 Оптимальный диапазон значений числа Куранта:
 $0 < \sigma < 1$

1.7 Две схемы 2-го порядка аппроксимации с ортогональными областями монотонности:

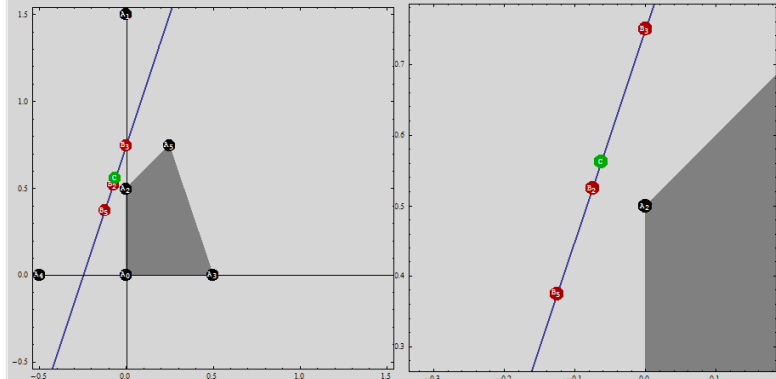
$$B_3: \left(\alpha_{-2}^0 = 0, \alpha_{-1}^0 = \frac{1}{2}(\sigma + \sigma^2), \alpha_0^0 = 1 - \sigma^2, \alpha_1^0 = \frac{1}{2}(\sigma^2 - \sigma) \right),$$

$$u_m^{n+1} = u_m^n + \frac{\sigma}{2}(u_{m-1}^n - u_{m+1}^n) + \frac{\sigma^2}{2}(u_{m-1}^n - 2u_m^n + u_{m+1}^n)$$

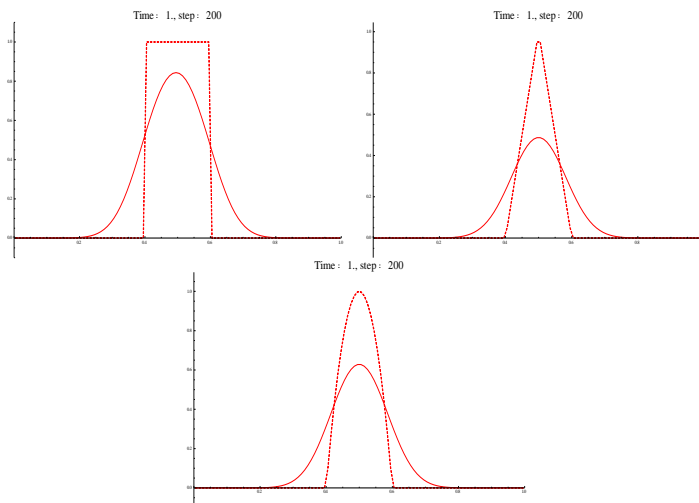
$$B_5: \left(\alpha_{-2}^0 = \frac{1}{2}(\sigma^2 - \sigma), \alpha_{-1}^0 = (2\sigma - \sigma^2), \alpha_0^0 = \frac{1}{2}(2 - 3\sigma + \sigma^2), \alpha_1^0 = 0 \right),$$

$$u_m^{n+1} = u_m^n + \frac{\sigma}{2}(4u_{m-1}^n - 3u_m^n - u_{m-2}^n) + \frac{\sigma^2}{2}(u_{m-2}^n - 2u_{m-1}^n + u_m^n)$$

1.8. Рисунок аналогичный Рис. 3 из задания для числа Куранта: $\sigma = 0.5$

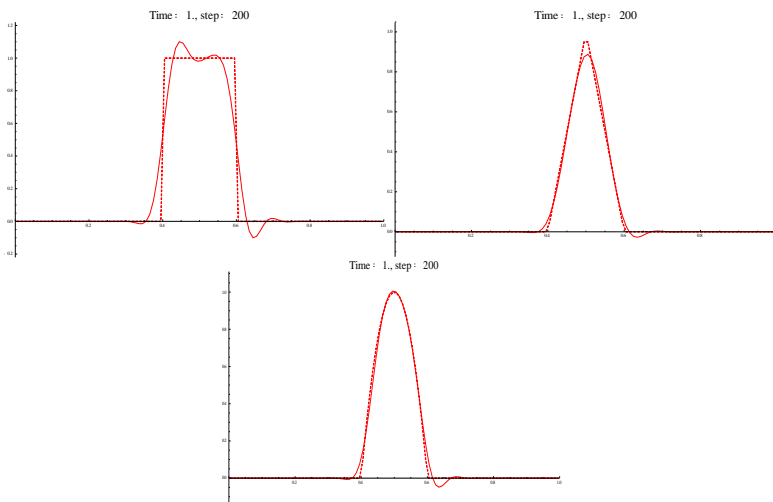


2. Для всех схем количество узлов $M = 100$, $\sigma = 0.5$, 200 шагов по времени.

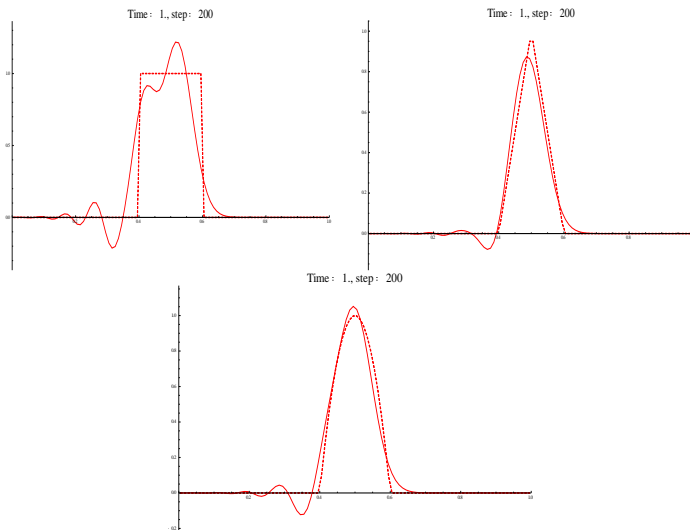


2.1 Схема А₂ «Левый уголок» 1 порядка аппроксимации: $u_m^{n+1} = 0.5(u_{m-1}^n + u_m^n)$.

Далее здесь должны быть результаты для схем А₀, А₅ и А₃!

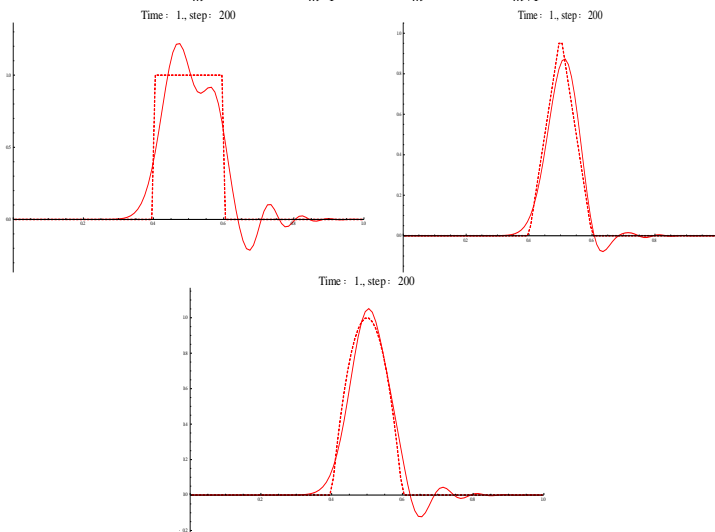


2.2 Схема В₂ (наименее осциллирующая на разрывах схема 2 порядка аппроксимации): $u_m^{n+1} \cong -0.075u_{m-2}^n + 0.6u_{m-1}^n + 0.525u_m^n - 0.05u_{m+1}^n$.



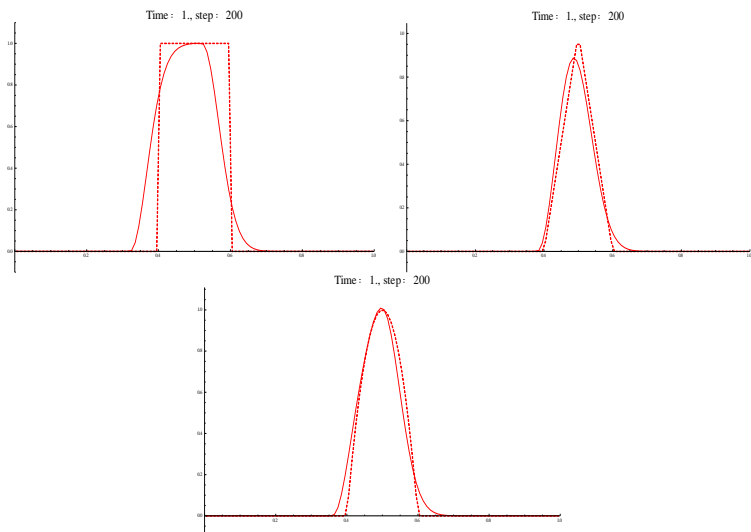
2.3 Схема В₃ «Лакса-Вендроффа» (2 порядок аппроксимации):

$$u_m^{n+1} \cong 0.375u_{m-1}^n + 0.75u_m^n - 0.125u_{m+1}^n.$$

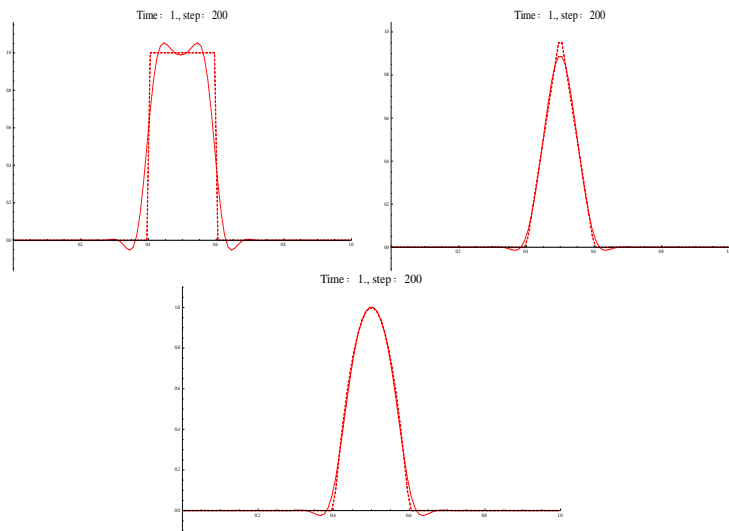


2.4 Схема В₅ «Бима-Уорминга» (2 порядок аппроксимации):

$$u_m^{n+1} \cong -0.125u_{m-2}^n + 0.75u_{m-1}^n + 0.375u_m^n.$$

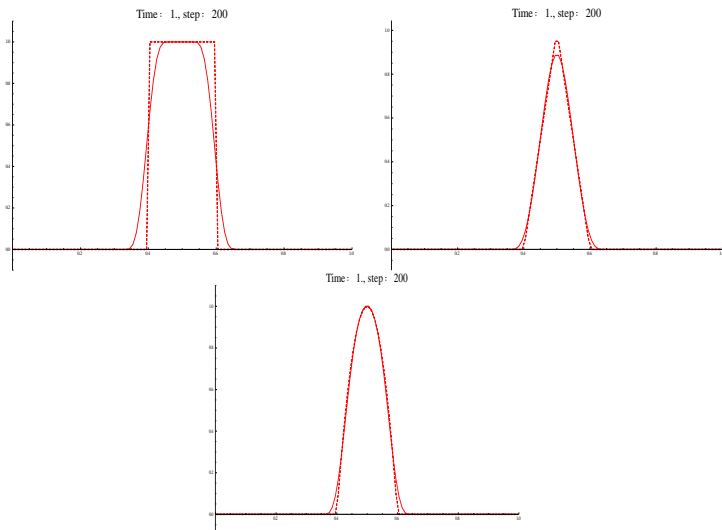


2.5 Монотонная комбинация схем В₃ и В₅ (2 порядок аппроксимации).



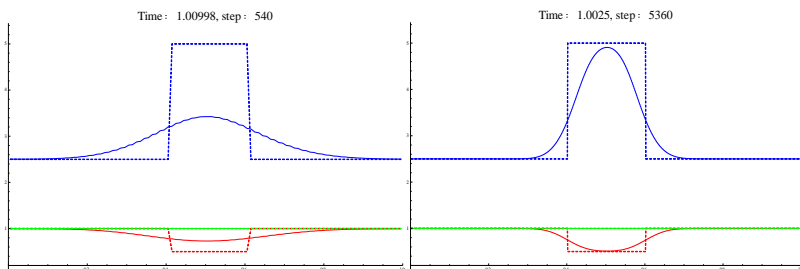
2.6 Схема С «Русанова» (3 порядок аппроксимации):

$$u_m^{n+1} \cong -0.0625u_{m-2}^n + 0.5625u_{m-1}^n + 0.5625u_m^n - 0.0625u_{m+1}^n.$$

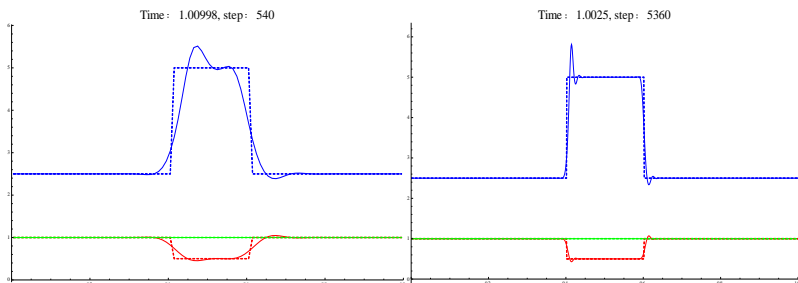


2.7 Монотонная комбинация схем C , B_3 и B_5 и (2-3 порядок аппроксимации).

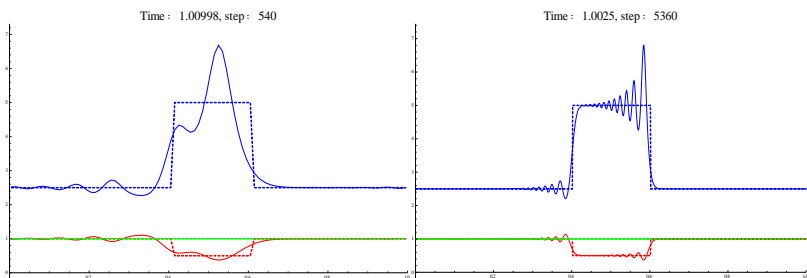
3.2 Тестовый расчет автомодельной задачи Римана при начальных значениях переменных $V_{in} = \{\rho = 0.5, u = 1, \varepsilon = 5\}^T$ и $V_{out} = \{\rho = 1, u = 1, \varepsilon = 2.5\}^T$, обеспечивающих существование двух КР-ов в центре области интегрирования:



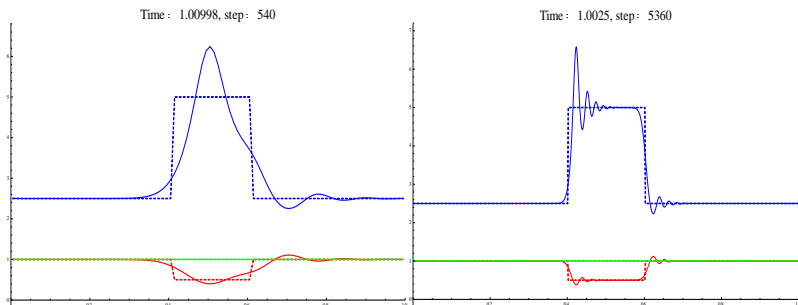
По наиболее точной монотонной схеме 1-го порядка аппроксимации, соответствующей точке A_1 на Рис. 3, для двух вариантов разностных сеток: $M = 100$ и $M = 1000$, на время $T \approx 1$ и $\sigma = 0.5$.



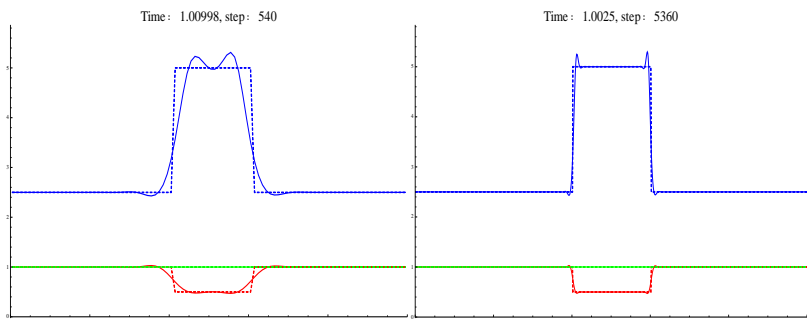
По наименее осциллирующей схеме 2-го порядка аппроксимации, соответствующей точке B_2 на Рис. 3, для двух вариантов разностных сеток: $M = 100$ и $M = 1000$, на время $T \approx 1$ и $\sigma = 0.5$.



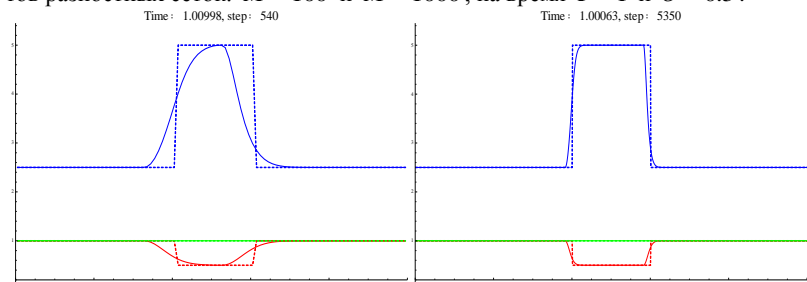
По схеме 2-го порядка, соответствующей точке B_3 на Рис. 3, для двух вариантов разностных сеток: $M = 100$ и $M = 1000$, на время $T \approx 1$ и $\sigma = 0.5$.



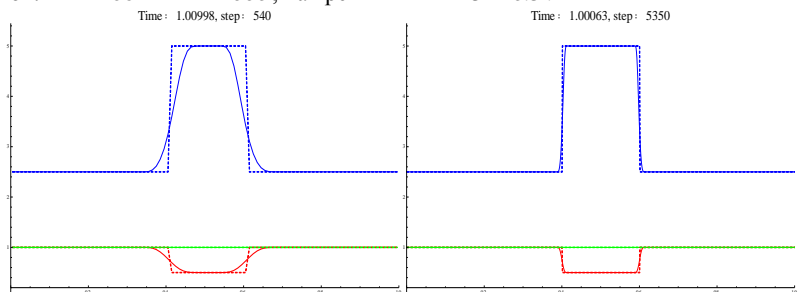
По схеме 2-го порядка, соответствующей точке B_5 на Рис. 3, для двух вариантов разностных сеток: $M = 100$ и $M = 1000$, на время $T \approx 1$ и $\sigma = 0.5$.



По схеме 3-го порядка, соответствующей точке C на Рис. 3, для двух вариантов разностных сеток: $M = 100$ и $M = 1000$, на время $T \approx 1$ и $\sigma = 0.5$.

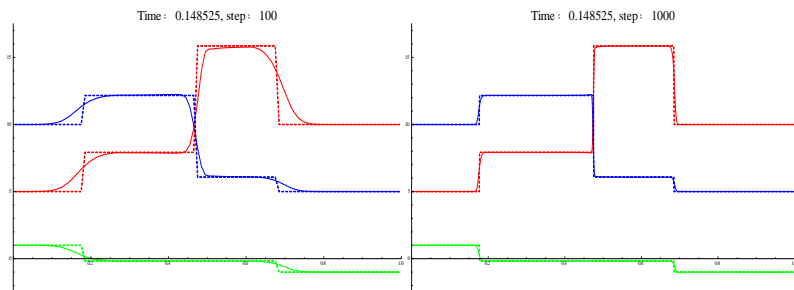


По монотонной схеме 2-го порядка аппроксимации, заданной в виде линейной комбинации двух схем, с ортогональными областями монотонности, соответствующим точкам B_3 и B_5 на Рис. 3, для двух вариантов разностных сеток: $M = 100$ и $M = 1000$, на время $T \approx 1$ и $\sigma = 0.5$.

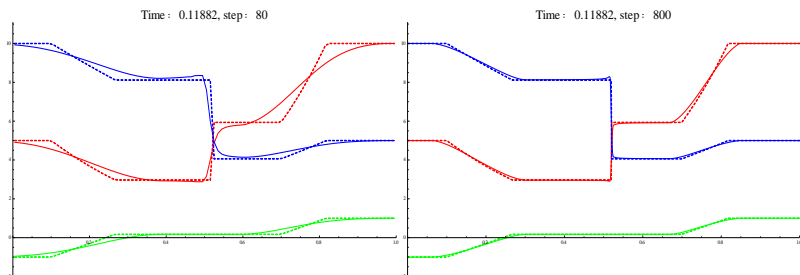


По монотонной схеме 2–3-го порядка аппроксимации, заданной в виде линейной комбинации трех опорных схем – одной схемы 3-го порядка аппроксимации, соответствующей точке C и двух схем 2-го порядка аппроксимации, соответствующим точкам B_3 и B_5 на Рис. 3, для двух вариантов разностных сеток: $M = 100$ и $M = 1000$, на время $T \approx 1$ и $\sigma = 0.5$.

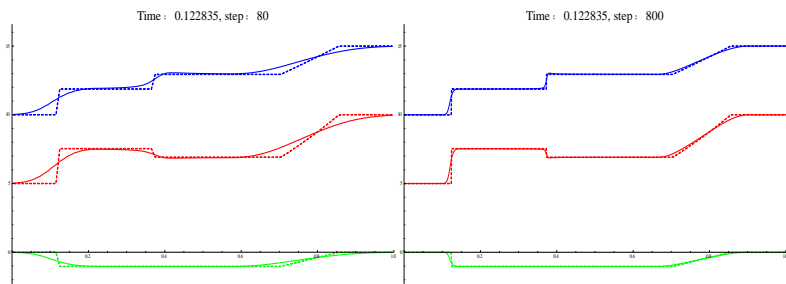
Тестовый расчет автомодельной задачи Римана по монотонной схеме 2–3-го порядка аппроксимации, заданной в виде линейной комбинации трех опорных схем – одной схемы 3-го порядка аппроксимации, соответствующей точке C и двух схем 2-го порядка аппроксимации, соответствующим точкам B_3 и B_5 на Рис. 3, для двух вариантов разностных сеток: $M=100$ и $M=1000$:



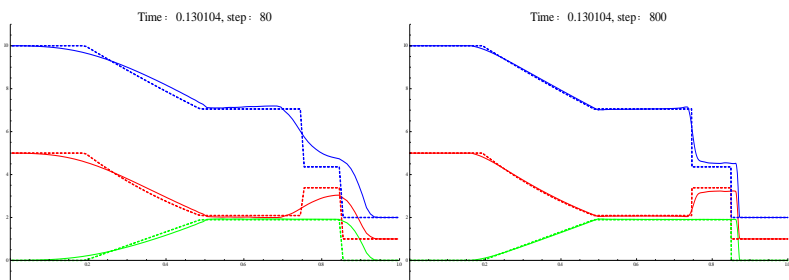
3.3 На время $T \approx 0.15$ и $\sigma = 0.5$ при начальных значениях переменных, обеспечивающих существование (УВ, КР, УВ) в центре области интегрирования.



3.4 На время $T \approx 0.12$ и $\sigma = 0.5$ при начальных значениях переменных, обеспечивающих существование (ВР, КР, ВР) в центре области интегрирования.



3.5 На время $T \approx 0.12$ и $\sigma = 0.5$ при начальных значениях переменных, обеспечивающих существование (УВ, КР, ВР) в центре области интегрирования.



3.6 На время $T \approx 0.13$ и $\sigma = 0.5$ при начальных значениях переменных, обеспечивающих существование (ВР, КР, УВ) в центре области интегрирования.